

# 好気性脱窒現象の代謝機構について

山口大工正 中西 弘  
” 正。 石川 宗孝  
福岡県庁 正 山田 好広

## 1はじめに

好気性脱窒現象のメカニズムについては種々の議論がされている。本研究においては飛散する窒素成分から、そのメカニズムを探ろうとしたものである。また、熱力学的検討も行なったので合わせて報告する。

## 2飛散する窒素成分

既報<sup>(1)</sup>にも示す様な装置で曝気槽中より飛散する窒素の成分を測定した。今回は模擬し原水を1/5～1/60に希釈したものと原水とし、Fill & Draw方式で十分駆逐したものを経時に採取し、N<sub>2</sub>, N<sub>2</sub>O, NO, NO<sub>2</sub>, DO, ORP, pH等を分析した。実験結果の一例を図1, 2に示す。

これは原水を水道水で1/60に希釈したものであり、投入後のpH 7.8～7.6, DO, O<sub>2</sub>～0.5 ppm, ORP～100～-50 mV付近の経時変化を示している。この時、排ガス中の成分はN<sub>2</sub>が大部分を占め、他成分はN<sub>2</sub>Oが微量に存在したのみであった。また、1/60原水の中へ一方にはNO<sub>3</sub>-N源として硝酸カリウムを200 ppm (aaN), 他方にはNO<sub>2</sub>-N源として亜硝酸ナトリウムを200 ppm (aaN)を添加して駆逐したものを排ガス分析を行なった。これより、注目すべき結果が得られた。NO<sub>2</sub>-Nを添加した実験では1/60の排ガスが増大しており、NO<sub>2</sub>-Nを添加した場合においてはN<sub>2</sub>Oの排ガスが飛躍的に増すことがわかった。これは好気性脱窒現象を生じている水中にはNO<sub>2</sub>-Nが多く存在しており、このNO<sub>2</sub>-Nが脱窒する時はN<sub>2</sub>として飛散するものとN<sub>2</sub>Oとして飛散するものがあることがわかる。また、NO<sub>3</sub>-Nが多く存在する場合においてはN<sub>2</sub>飛散が大部分でありN<sub>2</sub>O飛散は微量であることがわかる。

以上から硝化・脱窒作用の形態を考えた場合以下のようになるものと考えられる。

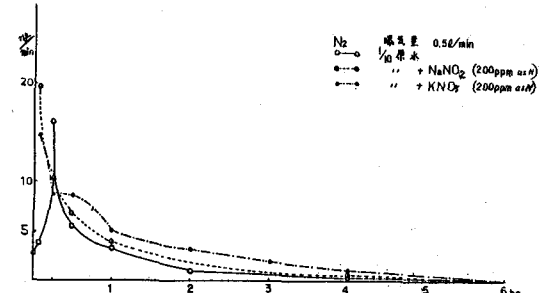
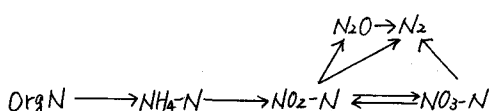


図1 N<sub>2</sub> 経時変化

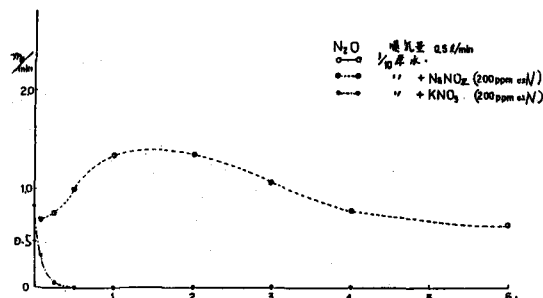


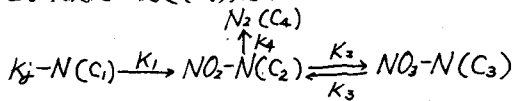
図2 N<sub>2</sub>O 経時変化

## 3好気性脱窒機構

以上の様に飛散する窒素成分の結果から、好気性脱窒現象が起こる槽内においては亜硝酸脱窒が進行しているものと考えられる。なぜなら、好気性脱窒現象が起こる曝気槽内においてはN<sub>2</sub>O飛散が全N飛散量の15%程度発生しており、その時の水中でNO<sub>2</sub>-Nが優先していることからもうかがえる。

## 4 速度論的解析

以上のことから、これまで硝化・脱窒反応の中で硝化作用を  $\text{NO}_x - \text{N} = (\text{NO}_2 - \text{N} + \text{NO}_3 - \text{N})$  の生成反応としていたのを  $\text{NO}_2 - \text{N}$  と  $\text{NO}_3 - \text{N}$  に分けて解析した。各々の反応を0次反応と仮定して考えると



$$\frac{dC_1}{dt} = -K_1, \quad \dots \dots (1)$$

$$\frac{dC_2}{dt} = K_1 - K_2 + K_3 - K_4 \quad \dots \dots (2)$$

$$\frac{dC_3}{dt} = K_2 - K_3 \quad \dots \dots (3)$$

$$\frac{dC_4}{dt} = K_4 \quad \dots \dots (4)$$

となるが、以上からは  $K_2, K_3$  が求まらないので、標準自由エネルギーより平衡定数を算出し、 $K_3/K_2 = 1.74 \times 10^4$  を得た。これより、図3に示す回分実験から実際の  $K_2, K_3$  を算出すると各値とも  $K_2 \ll K_3$  となり  $K_2 = 0$  と仮定しても差し支えないことがわかり、連続実験においても判定して同様の結果が得られた。このことからも好気性脱窒現象は  $\text{NO}_2 - \text{N}$  から  $\text{NO}_3 - \text{N}$  に進行していく現象であることがわかった。

## 5 热力学的解析

重硝酸脱窒作用が反応理論としても正しいのか、現状においては理解できないものであるため、反応の自発生を決定する熱力学的指標として Gibbs の自由エネルギー  $\Delta G^\circ$  の解析を試みた。反応が自発的に進行する課程においては  $\Delta G^\circ$  は必ず負の値をとり、この負の値が大きい程、自発性が大きいものと考えられる。表1に  $\text{NO}_3 - \text{N}$  を中心とした化学反応式を立て  $\Delta G^\circ$  を計算したものと示す。この表にも示されるように、亞硝酸作用を受けた  $\text{NO}_2 - \text{N}$  は  $\text{N}_2\text{O}$  の飛散が一番自発的なものであり、続いて  $\text{N}_2\text{O}$  飛散となっている。また、 $\text{NO}_2 - \text{N} \rightarrow \text{NO}_3 - \text{N}$  への硝化作用は他と比べて自発性の低いものであった。以上から、亞硝酸脱窒作用は熱力学的にみて十分に可能な反応であることがわかった。

## 6. おわりに

以上の実験と考察から次の様なことが結論づけられた。(1)  $\text{N}_2, \text{N}_2\text{O}$  ガスの多くは溶存酸素の不足状態で排気されるが、溶存酸素のある状態でも生成される。(2)  $\text{N}_2\text{O}$  ガスは水素供給体の十分ある場所での生成が多い。(3)  $\text{NO}_2 - \text{N}$  からの脱窒形態は  $\text{N}_2\text{O}$  もかなり多いが、 $\text{NO}_3 - \text{N}$  からは  $\text{N}_2$  として排気される。また、総脱窒量は  $\text{NO}_3 - \text{N}$  より  $\text{NO}_2 - \text{N}$  の方が多い。(4) 自由エネルギーの点から、好気性脱窒における反応は  $\text{NH}_4 - \text{N} \rightarrow \text{NO}_2 - \text{N} \rightarrow \text{N}_2 \text{ or } \text{N}_2\text{O}$  の亞硝酸脱窒反応が最も起こりやすい。

本研究の一部は文部省科学研究費(奨励研究(A) 課題番号56750387)によることを付記する。

## 引用文献

- (1) 石川、中西等 “好気性脱窒機構に関する基礎的研究”, 土木学会年次講演会概要集, 第2部, (1981)
- (2) 石川、水船等 “好気性脱窒に関する基礎的研究” 衛生工学研究討論会論文集(土木学会), (1982)

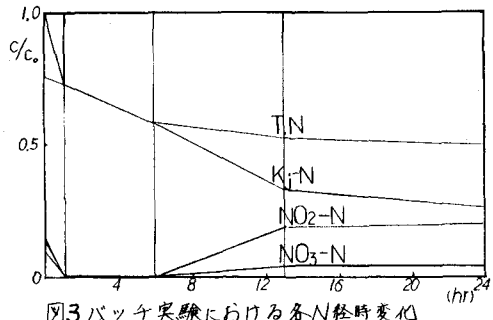


表1 Gibbs の標準自由エネルギー

反応式	$-\Delta G^\circ / \text{kmol}$	$E^\circ / (\text{mV})$
$\text{NH}_4^+ + 1/2 \text{O}_2 \rightarrow \text{NO}_2^- + \text{H}_2\text{O} + 2\text{H}^+$	192.2	
$\text{NO}_2^- + 1/2 \text{O}_2 \rightarrow \text{NO}_3^-$	76.0	
$\text{NO}_3^- + 2\text{H}^+ + 2e^- \rightarrow \text{NO}_2^- + \text{H}_2\text{O}$	161.2	$\text{NO}_2^- / \text{NO}_3^-$ 422-
$2\text{NO}_2^- + 6\text{H}^+ + 6e^- \rightarrow \text{N}_2 + 2\text{H}_2\text{O} + 2\text{OH}^-$	719.3	$\text{NO}_2^- / \text{N}_2$ 830
$2\text{NO}_2^- + 5\text{H}^+ + 4e^- \rightarrow \text{N}_2\text{O} + 2\text{H}_2\text{O} + \text{OH}^-$	459.1	$\text{NO}_2^- / \text{N}_2\text{O}$ 674
$\text{N}_2\text{O} + 2\text{H}^+ + 2e^- \rightarrow \text{N}_2 + \text{H}_2\text{O}$	340.8	$\text{NO}_2^- / \text{N}_2$ 1353